

НЕКОТОРЫЕ ВОПРОСЫ СТАТИСТИКИ ЛИНЕЙНЫХ АНТЕННЫХ РЕШЕТОК

Для некоторых схем построения антенных решеток (АР) характерно наличие периодических фазовых ошибок [1, 2]. В ряде случаев они случайны. В связи с этим представляет интерес исследование воздействия этих ошибок на параметры АР.

Рассмотрим линейную эквидистантную решетку, состоящую из $N=2MK$ элементов ($2M$ — число секций, K — число элементов в одной секции). Комплексный множитель системы излучателей запишем в виде*

$$f(\theta) = \sum_{s=-M}^M \sum_{\lambda=1}^K a_{s\lambda} e^{ikz_{s\lambda} \sin \theta + i\varphi_{s\lambda}}, \quad (1)$$

где $a_{s\lambda}$, $\varphi_{s\lambda}$ — амплитуда и фаза возбуждения λ -го элемента s -й секции;

k — волновое число;

$z_{s\lambda}$ — расстояние от начала координат до λ -го элемента s -й секции.

Если амплитудное распределение симметричное и элементы возбуждены синфазно, то поле в отсутствие ошибок

$$f_0(\psi) = \sum_s \sum_{\lambda} a_{s\lambda} \cos \psi_{s\lambda},$$

где

$$\psi_{s\lambda} = \psi z_{s\lambda}, \quad \psi = k \sin \theta. \quad (2)$$

Считаем, что фазы возбуждения элементов $\varphi_{s\lambda}$ являются случайными величинами

$$\varphi_{s\lambda} = x_{s\lambda} \delta, \quad (3)$$

где $x_{s\lambda}$ — случайная величина, принимающая значения $-P, -(P-1) \dots P$ с вероятностью $1/2P+1$;

$\delta = \frac{\Delta}{2P}$ — константа;

Δ — интервал распределения ошибок.

В дальнейшем будем различать два случая:

I. $\varphi_{s\lambda}$ независимы в пределах всей антенны.

II. Случайные фазовые ошибки $\varphi_{s\lambda}$ являются независимыми в пределах одной секции, периодическими по секциям $\varphi_{|s|\lambda} = \varphi_{\lambda}$ и противоположными по знаку относительно начала координат $\varphi_{-|s|\lambda} = -\varphi_{\lambda}$.

* В дальнейшем суммирование в пределах (1) будем обозначать $\sum_s \sum_{\lambda}$.

Заметим, что запись фазовых ошибок в форме (3) позволяет анализировать как системы с дискретными ошибками, так и с непрерывными; равномерно распределенными в интервале $(-\frac{\Delta}{2}, \frac{\Delta}{2})$. Последний случай характерен для АР со специальным способом фазирования элементов [4]. Для получения характеристик АР в случае непрерывно распределенных ошибок в окончательных результатах необходимо сделать предельный переход при $P \rightarrow \infty$.

Средняя ДН по мощности

Используя (1) и (3), для средней ДН по мощности можно получить следующие выражения (индексами I, II обозначены соотношения для случаев независимых и периодических фазовых ошибок):

$$\overline{|f(\psi)|_I^2} = f_0^2(\psi) h^2(P, \Delta) + [1 - h^2(P, \Delta)] \sum_s \sum_{\lambda} a_{s\lambda}^2; \quad (4)$$

$$\overline{|f(\psi)|_{II}^2} = f_0^2(\psi) h^2(P, \Delta) + 2 \sum_{s=1}^M \sum_{p=1}^M \sum_{\lambda=1}^K a_{s\lambda} a_{p\lambda} \{ \cos(\psi_{s\lambda} - \psi_{p\lambda}) \times \\ \times [1 - h^2(P, \Delta)] + \cos(\psi_{s\lambda} + \psi_{p\lambda}) [h(P, 2\Delta) - h^2(P, \Delta)] \}, \quad (4a)$$

где

$$h(P, \Delta) = e^{i\varphi_{s\lambda}} = \frac{1}{2P+1} \frac{\sin \frac{(2P+1)\Delta}{4P}}{\sin \frac{\Delta}{4P}}. \quad (5)$$

Выражение (4) подобно выражению, описывающему среднюю ДН линейной антенны с нормально распределенными фазовыми ошибками [5]. Роль дисперсии фазовых ошибок в выражении (4) играет величина

$$\sigma_{\varphi_{s\lambda}}^2 = 1 - h^2(P, \Delta). \quad (6)$$

В случае малых фазовых ошибок величина $\sigma_{\varphi_{s\lambda}}^2$ совпадает с дисперсией ошибок (рис. 1), т. е.

$$1 - h^2(P, \Delta) \approx \sigma_{\varphi}^2, \quad \sigma_{\varphi}^2 = \frac{\Delta^2(P+1)}{12P}. \quad (7)$$

Для равномерно распределенных ошибок

$$h(\Delta) = \lim_{P \rightarrow \infty} h(P, \Delta) = \frac{\sin \Delta/2}{\Delta/2}.$$

Выражение для средней ДН по мощности в этом случае имеет вид

$$\overline{|f(\psi)|^2} = f_0^2(\psi) \frac{\sin^2 \Delta/2}{(\Delta/2)^2} + \left[1 - \frac{\sin^2 \Delta/2}{(\Delta/2)^2} \right] \sum_s \sum_\lambda a_{s\lambda}^2. \quad (8)$$

Соотношение (8) совпадает с полученным в [2] выражением для средней ДН при независимых в элементах, равномерно распределенных в интервале $(-\Delta/2, \Delta/2)$ фазовых ошибках.

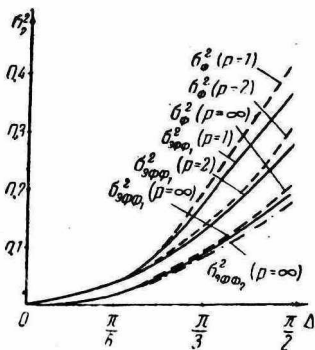


Рис. 1.

Дисперсия флюктуаций поля $|\Delta f(\psi)|^2$ для системы с независимыми фазовыми ошибками представляет собой постоянный фон (вторые слагаемые в (4), (8)). Если ошибки периодические, дисперсия флюктуаций поля обладает направленными свойствами (второе слагаемое в (4a)). При этом для малых ошибок флюктуации мощности излучения в направлении главного максимума $\psi = 0$ отсутствуют.

Соотношения (4), (4a) позволяют рассчитать среднюю ДН и дисперсию флюктуаций поля, задаваясь амплитудным распределением, геометрией системы и характером распределения фазовых ошибок.

Так, для малых ошибок

$$\sigma_{\phi\Phi 1}^2 = 1 - h^2(P, \Delta) \approx \sigma_\phi^2, \quad \sigma_{\phi\Phi 2}^2 = h^2(P, \Delta) - h(P, 2\Delta) \approx \sigma_\phi^2. \quad (9)$$

Если амплитудное распределение при этом равномерное ($a_{s\lambda} = 1$), выражение (4a) преобразуется к виду

$$\overline{|f(\psi)|^2} = f_0^2(\psi) (1 - \sigma_\phi^2) + 2\sigma_\phi^2 \frac{\sin^2 \psi N z_3}{\sin^2 \frac{\psi K z_3}{2}} \left[K - \frac{\sin \psi K z_3}{\sin \psi z_3} \cos \frac{\psi N z_3}{2} \right], \quad (8a)$$

где z_3 — расстояние между элементами АР*.

В соответствии с выражением (8a) дисперсия флюктуаций поля является функцией обобщенного угла ψ . Для значений

* Заметим, что выражение (8a) отличается от выражения для средней ДН, полученного в [3] (где рассматривался случай периодически коррелированных фазовых ошибок) наличием множителя в квадратных скобках у второго слагаемого (8a). Это отличие вызвано тем, что в нашем случае фазовые ошибки в секциях жестко связаны.

угла $\psi_u = \frac{2\pi U}{Kz_3}$, $u = \pm 1, \pm 2, \dots$ средняя ДН имеет паразитные боковые лепестки [3], уровень которых составляет

$$F_n = 10 \lg \frac{\sigma_{\Phi}^2 M}{N} \text{ дб.} \quad (10)$$

При фиксированной длине антенны N уровень паразитных лепестков F_n и угловое расстояние между ними $\Delta\psi_u = 2\pi/Kz_3$ определяются величиной периода фазовых ошибок Kz_3 . С уменьшением числа периодов фазовых ошибок — числа секций АР ($2M$) — угловое расстояние между паразитными лепестками уменьшается, сами паразитные боковые лепестки также становятся меньше. В предельном случае, когда фазовые ошибки независимы на всей АР, паразитные боковые лепестки исчезают — выражение (4). Характер распределения фазовых ошибок (дискретно распределенные или непрерывные) сказывается лишь на величине дисперсии $\sigma_{\text{эфф}1}^2$ и не влияет на вид средней ДН для независимых фазовых ошибок (4). В случае периодических фазовых ошибок влияние характера распределения их становится существенным лишь для больших величин σ_{Φ}^2 , когда нельзя полагать выполненным равенство (9) и вытекающее из него $\sigma_{\text{эфф}1}^2 = \sigma_{\text{эфф}2}^2$.

Средний КНД

Получим выражения для снижения среднего КНД. Исходным является соотношение [5]

$$\Delta_K = 1 - \frac{\bar{D}}{D_0},$$

где

$$\bar{D} = \frac{2k|f(0)|^2}{\int_{-k}^k |f(\psi)|^2 d\psi} \quad (11)$$

Используя полученные выше выражения для средних ДН (4) и (4а), нетрудно получить величину снижения КНД для рассматриваемых случаев

$$\Delta_{K1} = 1 - \frac{1 - \sigma_{\text{эфф}1}^2 + \alpha \sigma_{\text{эфф}1}^2}{1 - \sigma_{\text{эфф}1}^2 + \alpha D_0 \sigma_{\text{эфф}1}^2}, \quad \alpha = \frac{\sum_s \sum_{\lambda} a_{s\lambda}^2}{f_0^2(0)}; \quad (12a)$$

$$\Delta_{K11} = 1 - \frac{f_0^2(0) h^2(P, \Delta) + 2(\sigma_{\text{эфф}1}^2 - \sigma_{\text{эфф}2}^2) \sum_{s=1}^M \sum_{p=1}^M \sum_{\lambda=1}^K a_{s\lambda} a_{p\lambda}}{f_0^2(0) h^2(P, \Delta) + 2D_0 \sum_{s=1}^M \sum_{p=1}^M \sum_{\lambda=1}^K a_{s\lambda} a_{p\lambda} \left[\sigma_{\text{эфф}1}^2 \times \right.} \quad (12b)$$

$$\left. \times \frac{\sin k(z_{s\lambda} - z_{p\lambda})}{k(z_{s\lambda} - z_{p\lambda})} - \sigma_{\text{эфф}2}^2 \frac{\sin k(z_{s\lambda} + z_{p\lambda})}{k(z_{s\lambda} + z_{p\lambda})} \right].$$

Для равномерного амплитудного распределения из (12) получим

$$\Delta_{кI} = \sigma_{эфф1}^2 - \frac{\sigma_{эфф1}^2}{N}. \quad (13)$$

Выражение (13) в точности совпадает с выражением для снижения КНД, полученным в [5]. Роль дисперсии фазовых ошибок играет величина $\sigma_{эфф1}^2$. При большом числе излучателей ($N \gg 1$) снижение КНД составляет

$$\Delta_{кI} = \sigma_{эфф1}^2.$$

Если амплитудное распределение равномерное и расстояния между элементами кратны $\lambda/2$, то для II случая получим

$$\Delta_{кII} = \sigma_{эфф1}^2 - \frac{\sigma_{эфф1}^2 - \sigma_{эфф2}^2}{N} M. \quad (13a)$$

Для малых ошибок $\sigma_{эфф1}^2 = \sigma_{эфф2}^2$ и из (13) и (13a) следует, что периодический характер ошибок приводит к большему снижению КНД. Однако, если число элементов в секции AP $K \gg 1$, то снижение КНД в обоих случаях одинаково и определяется величиной $\sigma_{эфф1}^2$. График снижения КНД в этом случае совпадает с графиком $\sigma_{эфф1}^2$ (рис. 1).

Зависимость снижения КНД $\Delta_{кI}$ и $\Delta_{кII}$ от характера распределения фазовых ошибок (дискретные или непрерывные) такая же, как и зависимость средней ДН по мощности (п. 2).

Флюктуации направления главного максимума

Рассмотрим случай малых фазовых ошибок. Учитывая малость ψ , разлагаем $|f(\psi)|^2 = R^2$ в ряд по степеням ψ . Дифференцируя и приравнивая нулю производную $\frac{dR^2}{d\psi} = 0$, получаем

$$\psi_M = \frac{\sum_s \sum_\lambda a_{s\lambda} z_{s\lambda} \varphi_{s\lambda}}{\sum_s \sum_\lambda a_{s\lambda} z_{s\lambda}^2} = - \frac{\delta \sum_s \sum_\lambda a_{s\lambda} z_{s\lambda} x_{s\lambda}}{\sum_s \sum_\lambda a_{s\lambda} z_{s\lambda}^2}. \quad (14)$$

Полученное выражение аналогично выражению для флюктуаций направления главного максимума в случае нормально распределенных ошибок [5]. Если $K \gg 1$, то в силу центральной предельной теоремы закон распределения случайной величины ψ_M нормальный. Среднее значение $\bar{\psi}_M = 0$. Дисперсия флюктуаций направления главного максимума для рассматриваемых случаев равна соответственно

$$\overline{\psi_{MI}^2} = \sigma_\psi^2 \frac{\sum_s \sum_\lambda a_{s\lambda}^2 z_{s\lambda}^2}{\left(\sum_s \sum_\lambda a_{s\lambda} z_{s\lambda}^2\right)^2}; \quad (15)$$

$$\overline{\psi_{\text{MII}}^2} = 4\sigma_{\Phi}^2 \frac{\sum_{s=1}^M \sum_{p=1}^M \sum_{\lambda=1}^K a_{s\lambda} a_{p\lambda} z_{s\lambda} z_{p\lambda}}{\left(\sum_s \sum_{\lambda} a_{s\lambda} z_{s\lambda}^2\right)^2}. \quad (15a)$$

Из сравнения (15) и (15a) следует, что периодический характер фазовых ошибок приводит к увеличению дисперсии флюктуаций направления главного максимума.

Рассмотрим зависимость $\overline{\psi_{\text{M}}^2}$ от вида амплитудного распределения, которое зададим в виде

$$a_{s\lambda} = 1 - \gamma |z_{s\lambda}|, \quad z_{s\lambda} = [K(s-1) + \lambda - \frac{1}{2}] z_0. \quad (16)$$

Считая, что число элементов $N \gg 1$; для величины $\overline{\psi_{\text{M}}^2}$ получаем следующее выражение

$$\overline{\psi_{\text{MI}}^2} = \sigma_{\Phi}^2 \frac{\frac{1}{3} - \frac{u}{2} + \frac{u^2}{5}}{2z_0^2 \left(\frac{N}{2}\right)^3 \left(\frac{1}{3} - \frac{u}{4}\right)^2}. \quad (17)$$

В выражении (17) $u = \gamma N z_0 / 2$ — уменьшение амплитуды последнего $\frac{N}{2}$ -го элемента (рис. 2).

Если антенна состоит из двух секций ($2M = 2$), то, используя аппроксимацию амплитудного распределения в виде (16), получаем

$$\overline{\psi_{\text{MII}}^2} = \sigma_{\Phi}^2 \frac{\frac{1}{3} - \frac{u}{2} + \frac{u^2}{5}}{z_0^2 \left(\frac{N}{2}\right)^3 \left(\frac{1}{3} - \frac{u}{4}\right)^2}. \quad (17a)$$

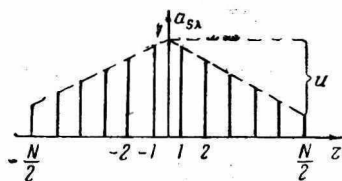


Рис. 2.

Рассмотрим случай $M \gg 1$. Для упрощения будем полагать, что амплитудное распределение по секциям ступенчатое, т. е.

$$a_{s\lambda} = a_s = 1 - \gamma |s|. \quad (18)$$

Положим также, что $K \gg 1$. Тогда

$$\overline{\psi_{\text{MII}}^2} = \sigma_{\Phi}^2 \frac{M \left(\frac{1}{2} - \frac{u_M}{3}\right)^2}{z_0^2 \left(\frac{N}{2}\right)^3 \left(\frac{1}{3} - \frac{u_M}{4}\right)^2}, \quad (176)$$

где $u_M = \gamma M$ — уменьшение амплитуды возбуждения последней секции. Из рассмотрения выражений (17) — (17a) следует, что

характер изменений $\overline{\psi}_M^2$ в зависимости от σ_Φ^2 , N одинаков для обоих случаев. Дисперсия флюктуаций направления главного максимума пропорциональна дисперсии ошибок. При увеличении длины антенны флюктуации уменьшаются. Зависимость $\overline{\psi}_M^2$ от вида амплитудного распределения приведена на рис. 3.

$$\left(1 - \frac{\overline{\psi}_{MII}^2}{\sigma_\Phi^2} \cdot z_3 \left(\frac{N}{2}\right)^3, \quad 2M=2;\right.$$

$$2 - \frac{\overline{\psi}_{MI}^2}{\sigma_\Phi^2} \cdot z_3 \left(\frac{N}{2}\right)^3; \quad \left. 3 - \frac{\overline{\psi}_{MII}^2}{2M\sigma_\Phi^2} \cdot z_3 \left(\frac{N}{2}\right)^3\right).$$

Для спадающего амплитудного распределения дисперсия флюктуаций возрастает. У антенн с периодическими фазовыми ошибками дисперсия флюктуаций направления главного максимума примерно в $2M$ раз больше, чем у антенн с независимыми фазовыми ошибками. Как и в предыдущих случаях (п. 2 и п. 3) от характера распределения фазовых ошибок зависит лишь дисперсия ошибок σ_Φ^2 .

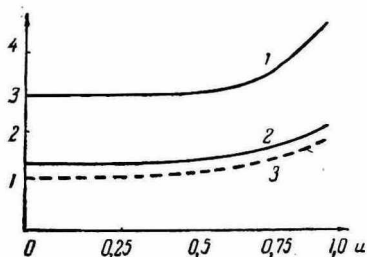


Рис. 3.

Расширение главного лепестка средней ДН

Рассмотрим случай малых фазовых ошибок. Используя (6), (6а) и (10), нормированные ДН можно записать (с точностью до членов порядка σ_Φ^2) в виде

$$|F(\psi)|^2 = \frac{|f(\psi)|^2}{|f(0)|^2} = F_0^2(\psi) + \frac{\sigma_\Phi^2}{f_0^2(0)} V(\psi), \quad (19)$$

где

$$V(\psi) = \begin{cases} \sum_s \sum_\lambda a_{s\lambda}^2 [1 - F_0^2(\psi)]; & \text{I.} \\ 2 \sum_{s=1}^M \sum_{p=1}^M \sum_{\lambda=1}^K a_{s\lambda} a_{p\lambda} [\cos(\psi_{s\lambda} - \psi_{p\lambda}) - \cos(\psi_{s\lambda} + \psi_{p\lambda})] & \text{II.} \end{cases}$$

Воспользовавшись далее методикой, приведенной в [5], нетрудно получить выражение для расширения главного лепестка средней ДН:

$$2\Delta\psi_1 = (\psi_1 - \psi_2) - 2\psi_0 = 3,7 \frac{\sigma_\Phi^2}{N^2 z_3}, \quad (20)$$

где $\psi_{1,2}$, ψ_0 — углы, соответствующие уровню половинной мощности ДН при наличии и отсутствии ошибок.

При выводе (20) амплитудное распределение полагалось равномерным и число элементов $N \gg 1$, так что ДН в области главного лепестка могла быть аппроксимирована выражением

$$F_0^2(\psi) = \left(\frac{\sin \frac{N\psi z_0}{2}}{\frac{N\psi z_0}{2}} \right)^2.$$

Для линейной антенны в случае малых ошибок и малых радиусов корреляции расширение главного лепестка средней ДН описывается выражением [5] $2\Delta\theta = 1,63c\alpha$.

Для остронаправленных антенн

$$2\Delta\theta = 0,26 \frac{c\alpha\lambda}{L}, \quad (21)$$

где c — относительный радиус корреляции;

α — дисперсия фазовых ошибок;

L — длина антенны.

Из выражения (20), используя (2), получаем

$$2\Delta\theta = 0,29 \frac{\sigma_\Phi^2 \lambda}{N^2 z_0}. \quad (22)$$

Считая расстояние между элементами z_0 равным радиусу корреляции и учитывая, что длина антенны $L = Nz_0$, а относительный радиус корреляции $c = \frac{\Delta L}{L} = \frac{z_0}{Nz_0} = \frac{1}{N}$, можно выражение (22) переписать в виде

$$2\Delta\theta = 0,29 \frac{c\sigma_\Phi^2 \lambda}{L}$$

Последнее соотношение совпадает с аналогичной формулой для расширения средней ДН, полученной в работе [5] при нормально распределенных фазовых ошибках в линейной антенне.

Можно показать, что в случае периодических фазовых ошибок расширение главного лепестка средней ДН составляет

$$2\Delta\theta_{II} \approx 3,7 \frac{\sigma_\Phi^2}{N^2 z_0} 2M. \quad (20a)$$

Из уравнения (20) и (20a) следует, что периодический характер фазовых ошибок в АР приводит к расширению главного лепестка средней ДН пропорционально числу периодов фазовых ошибок $2M$. Последнее эквивалентно увеличению радиуса корреляции фазовых ошибок у линейной антенны с расстояния, равного

расстоянию между элементами z_3 , до величины $2Mz_3$ (при этом предполагается выполнение условия $\frac{2Mz_3}{Nz_3} = \frac{2Mz_3}{L} \ll 1$).

Итак, рассмотрение некоторых эффектов влияния периодических случайных фазовых ошибок на характеристики антенных решеток показало, что периодический характер фазовых ошибок приводит к появлению паразитных лепестков у средней ДН, величина и угловое положение которых зависит от периода ошибок. Флюктуации направления главного максимума и расширение главного лепестка средней ДН находятся в прямой зависимости от числа периодов фазовых ошибок, укладываемых на АР. В меньшей степени периодический характер фазовых ошибок влияет на снижение КНД.

Автор глубоко благодарен профессору Я. С. Шифрину за постоянное внимание к настоящей работе.

ЛИТЕРАТУРА

1. Дерюгин Л. Н. Об эффективности секционирования сканирующих антенных решеток. — Сб. «Сканирующие антенны СВЧ». Под редакцией Л. Н. Дерюгина. М., «Машиностроение», 1964, с. 273—282.
2. Зимин Д. Б. Свойства антенн со ступенчатым фазовым распределением. — Сб. «Сканирующие антенны СВЧ». Под редакцией Л. Н. Дерюгина. М., «Машиностроение», 1964, с. 159—176.
3. Рудин В. Ю., Сазонов В. В. Статистика поля линейной антенной решетки при периодически коррелированных фазовых ошибках. — «Радиотехника», 1967, т. 22, № 2, с. 43—48.
4. О подавлении паразитных лепестков в ДН коммутационных антенных решеток. — «Радиотехника и электроника», 1971, т. XVI, вып. 7, с. 1268—1270. Авт.: Ф. А. Айзин, А. А. Долженков, Д. Б. Зимин и др.:
5. Шифрин Я. С. Вопросы статистической теории антенн. М., «Советское радио», 1970, 388 с.